

05.1

## Наноструктурный захват трещины

© В.А. Поздняков

ГНЦ ЦНИИчермет им. И.П. Бардина, Москва

*В окончательной редакции 5 сентября 2002 г.*

Рассмотрены задача развития хрупкой трещины в нанокристаллическом материале и влияние границ зерен и их стыков на разрушение. Получены выражения для условий устойчивости трещины.

Нанокристаллические материалы — новый класс материалов, интенсивно изучаемых в последнее время [1,2]. Основные отличительные признаки структуры нанокристаллических материалов (НМ): предельно малый размер зерна и обусловленная этим большая объемная доля материала, связанного с границами зерен (ГЗ) и их стыками, затруднение или подавление дислокационных механизмов пластической деформации и неравновесное состояние границ зерен (ГЗ) [1,2]. Обнаружены и исследованы различные аномалии деформационного поведения НМ, связанные с размерными эффектами [1–4].

Наиболее важным элементом структуры НМ, во многом определяющим их макроскопические свойства, являются ГЗ. В зависимости от способа получения НМ, таких, например, как компактирование нанопорошка, механическое сплавление, нанокристаллизация аморфных сплавов или интенсивная пластическая деформация, может формироваться зеренная структура с различной степенью структурной неравновесности, спектром разориентаций, дефектностью и химическим составом границ.

Известно, что ГЗ могут оказывать существенное влияние на процесс разрушения поликристаллов. На границах, являющихся местами концентрации напряжений и пониженной прочности, могут быть облегчены процессы зарождения и распространения трещин. В НМ, обладающих очень высокой плотностью ГЗ и их стыков, влияние границ на развитие трещин должно быть значительно существеннее, чем в традиционных материалах.

В [5,6] было показано, что учет дискретного характера кристаллической решетки в случае развития в ней трещины приводит к

появлению так называемого эффекта „решеточного захвата“ трещины, т. е. существования интервала значений внешнего напряжения в окрестности напряжения Гриффитса, в котором трещина может сохранять устойчивость.

В данной работе рассматривается задача развития хрупкой трещины в НМ и исследуется влияние ГЗ и их стыков на условия интер- или транскристаллитного разрушения. Обсуждается возможность реализации нового эффекта, возможного в НМ, — „наноструктурного захвата“ трещины.

**Особенности развития хрупкой трещины в НМ.** Характер развития трещины в поликристалле и соответственно условия реализации интер- или транскристаллического разрушения будут определяться соотношением энергий когезионного  $\gamma_0$  и зернограничного  $\gamma_e$  разрушения. Удельные энергии когезионного и зернограничного разрушения имеют вид

$$\gamma_0 = 2\gamma, \quad \gamma_e = \eta(2\gamma + 2\gamma_s - \gamma_b), \quad (1)$$

где  $\gamma$  и  $\gamma_b$  — удельные энергии свободной поверхности и ГЗ соответственно,  $\gamma_s$  — энергия ступенек скола [7],  $\eta$  — фактор неровности поверхности разрушения.

В обычных поликристаллических материалах вклад стыков ГЗ в энергию разрушения пренебрежимо мал и не учитывается при анализе разрушения [7]. Объемная доля материала, связанного с ГЗ и тройными стыками, увеличивается при уменьшении размера зерна. Для НМ объемная доля тройных стыков становится сравнимой с объемными долями ГЗ и внутриверного материала и нужно учитывать их вклад в энергию разрушения. При случайном пути распространения трещины в материале эффективная энергия разрушения будет равна

$$\gamma_0^* = f_0 \gamma_0 + f_b \gamma_e + f_j \gamma_j, \quad (2)$$

где  $f_0, f_b, f_j$  — доля площади поверхности трещины, приходящаяся на внутриверный объем материала, границы и стыки ГЗ соответственно, а  $\gamma_0, \gamma_b, \gamma_j$  — вклады в удельную энергию разрушения НМ от соответствующих структурных составляющих. Доминирующим фактором условия выбора траектории распространения трещины (транскристаллитное — интеркристаллитное) является соотношение парциальных удельных энергий разрушения при развитии трещины по выбранным путям.

Если плоскость распространения трещины перпендикулярна оси приложения внешнего напряжения  $\sigma$  и ее вершина отклоняется от своей траектории, то для кинкообразной трещины, ориентированной под углом  $\theta$  к плоскости основной, локальные коэффициенты напряжений  $k_1$  и  $k_2$  [8] равны

$$k_1 = \cos^3(\theta/2)K_1, \quad k_2 = \sin(\theta/2) \cos^2(\theta/2)K_1, \quad K_1 = \xi \sigma \sqrt{L}, \quad (3)$$

где  $\xi$  — численный коэффициент,  $L$  — длина основной трещины.

Условие развития трещины вдоль грани зерна под углом  $\theta$  к основной плоскости [8]:

$$k_1^2 + k_2^2 \geq [2E\gamma_e/(1-\nu^2)]. \quad (4)$$

$E = 2\mu(1+\nu)$  — модуль Юнга,  $\nu$  — коэффициент Пуассона,  $\mu$  — модуль сдвига. При условии

$$K_1 \geq K_{1c} = [2E\gamma_0^*/(1-\nu^2)]^{1/2} \quad (5)$$

трещина будет развиваться в объеме зерна, что приведет к транскристаллитному типу разрушения.

При интеркристаллитном разрушении для НМ становится значительным вклад линейного натяжения поверхности трещины в энергию разрушения. При выгибании фронта трещины или его искривлении с малым радиусом кривизны  $r$  энергия разрушения равна

$$\gamma_e^* = \gamma_e + T/r, \quad (6)$$

где  $T$  — линейное натяжение фронта трещины [9],  $2r \approx D$ .

Из сравнения (4), (5) следует условие реализации транскристаллитного, а реально для НМ, из-за высокой объемной доли материала, связанного с ГЗ, — смешанного трансинтеркристаллитного типа разрушения при прямолинейном развитии трещины:

$$(\gamma_e^*/\gamma_0^*) \geq \cos^4(\theta_{\max}/2). \quad (7)$$

Обратное (7) условие определяет локальный критерий интеркристаллитного разрушения.

**Наноструктурный захват трещины.** Из-за высокой плотности ГЗ и их стыков в НМ не может реализоваться чисто транскристаллитное

разрушение. Фронт трещины, даже при прямолинейной траектории ее развития, периодически проходит по материалу, связанному с внутренним объемом зерен, ГЗ и их стыками, так что энергия разрушения периодически изменяется. Интеркристаллитное разрушение НМ можно также в макромасштабе рассматривать как транскристаллитное с периодически изменяющейся энергией разрушения. Следовательно, можно считать, что удельная энергия разрушения  $\gamma^*$  (вязкость разрушения  $G_c$ ) является периодической (квазипериодической) функцией пути продвижения трещины с периодом, примерно равным размеру зерна  $D$ . Рассмотрим условие распространения трещины в двумерном ( $2-D$ ) и трехмерном ( $3-D$ ) приближениях при периодической зависимости энергии разрушения материала от длины трещины.

Условие распространения трещины в  $2-D$  модели в условиях плоской деформации [10] запишем в виде достижения скорости выделения энергии в вершине трещины длиной  $L$  критического значения  $G_{1c}$ :

$$G_1 = K_1^2(1 - \nu^2)/E = \sigma^2 \pi(1 - \nu^2)L/E \geq G_{1c} = \gamma_0^*. \quad (8)$$

Отсюда размер трещины Гриффитса в однородном континуальном материале [10]:

$$L_G = 4E\gamma_0^*/\pi(1 - \nu^2)\sigma_f^2. \quad (9)$$

При  $\gamma_0^* = \mu b/30$ , где  $b$  — межатомное расстояние,  $\sigma_f = \mu/60$ :  $L_G \approx 500b \gg D$  ( $\approx 10$  nm).

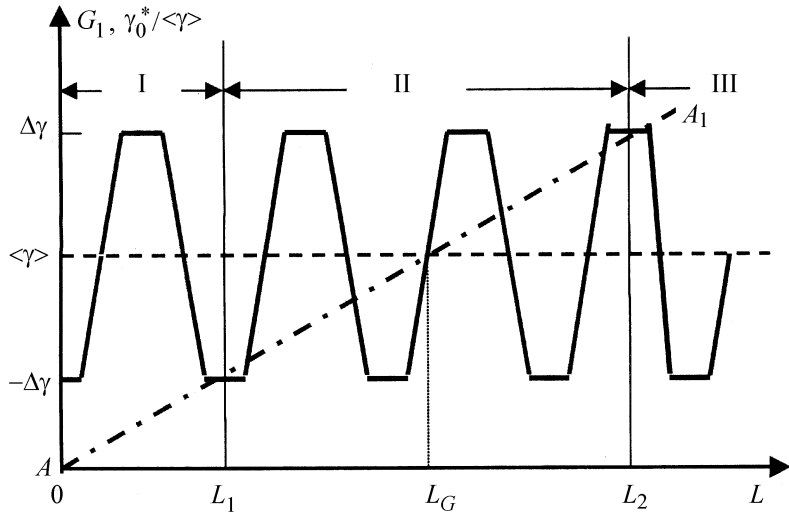
Учтем тот факт, что эффективная энергия разрушения — периодическая функция от длины трещины:

$$\gamma_0^*(L) = \langle \gamma \rangle + \Delta\gamma \sin(2\pi L/D), \quad (10)$$

где  $\langle \gamma \rangle$  — среднее значение,  $\Delta\gamma$  — амплитуда изменяющейся энергии разрушения. Для трещины размером  $L$ , примерно равным гриффитсовскому  $L = L_G + x$ ,  $x \ll L_G$ , из (8), (10) следует условие ее развития, определяемое графически (см. рисунок) и выраженное через безразмерную скорость выделения энергии  $G_{1c}$ :

$$G_1^* \equiv (\sigma^2 L / \sigma_G^2 L_G) = 1 + (\Delta\gamma / \langle \gamma \rangle) \cos(2\pi L/D). \quad (11)$$

На графике зависимостей  $G_1^*(L)$ ,  $\gamma_0^*(L)$  точки пересечения прямой  $AA_1$ , соответствующей  $G_1^*(L)$ , с линией  $\gamma_0^*(L)$  определяют три области возможных сценариев развития трещины В области I при  $L < L_1$



Графики зависимости скорости высвобождения энергии  $G_1^*$  и удельной энергии разрушения  $\gamma_0^*(L)/\langle\gamma\rangle$  от длины трещины  $L$ .

трещины неустойчивы относительно схлопывания, в области III при  $L > L_3$  трещины неустойчивы относительно динамического распространения, в области II при  $L_1 < L < L_2$ ,  $L_2 - L_1 = \Delta L$  возникает ряд метастабильных термодинамически устойчивых состояний. При этом  $(\Delta L/L_G) \approx (\Delta\gamma/\langle\gamma\rangle)$ .

Для периодического изменения  $\gamma_0^*$  при данном внешнем напряжении появляется область размеров трещины, или при заданном размере трещины — область значений напряжения  $\sigma_1 < \sigma < \sigma_2$ , при которых она устойчива (см. рисунок).

В 3-D модели изменение энергии тела при введении дискообразной трещины радиусом  $r$ :

$$\Delta E = 2\pi\gamma_e r^2 - (4\pi/3)r^3(\sigma^2/2E) + 2\pi r\Delta\Gamma \cos(2\pi r/D), \quad (12)$$

где  $\Delta\Gamma$  — амплитуда энергии разрушения на единицу длины фронта трещины. При  $r = r^* + z$ ,  $z \ll r^*$  сила сопротивления росту трещины

$$f_r = \frac{\partial \Delta E}{\partial r} = 4\pi\gamma_e r^* [2 + 3z/r^* + \pi(\Delta\Gamma/\gamma D) \sin 2\pi z/D]. \quad (13)$$

Для коэффициента отношения предельных напряжений  $Q = (\sigma_2/\sigma_1)$  интервала решеточного захвата трещины было получено (см. [11] и ссылки в ней) численное значение  $Q \leq 1.05-1.1$ , т.е. эффект решеточного захвата очень слаб. При наноструктурном захвате выражение для  $Q$  будет иметь вид

$$Q = (\sigma_2/\sigma_1) = 1 + \pi[\Delta\Gamma/\gamma_0^*D]. \quad (14)$$

Параметр  $\Delta\Gamma \approx \Delta\gamma D$  и при  $\Delta\gamma/\langle\gamma\rangle = 1.5-2$ :  $Q = 5-7$ , т.е. эффект весьма существен. Так что в НМ может реализоваться медленный („ползущий“ [6]) режим распространения хрупких трещин — последовательное продвижение фронта трещины из одной долины потенциальной энергии в другую путем образования и развития кинкообразных трещин на фронте основной. Таким образом, высокие плотности ГЗ и их стыков могут приводить к новым эффектам при развитии трещин в НМ.

## Список литературы

- [1] *Gleiter H.* // Progress in Materials Science. 1989. V. 33. N 4. P. 223.
- [2] *Андреевский Р.А., Глезер А.М.* // ФММ. 2000. Т. 89. В. 1. С. 91.
- [3] *Поздняков В.А., Глезер А.М.* // Письма в ЖТФ. 1995. Т. 21. В. 1. С. 31–36.
- [4] *Поздняков В.А., Глезер А.М.* // ФТТ. 2002. Т. 44. В. 4. С. 705–710.
- [5] *Thomson R., Hsieh C., Rana V.* // J. Appl. Phys. 1971. V. 42. N 8. P. 3154–3160.
- [6] *Hsieh C., Thomson R.* // J. Appl. Phys. 1973. V. 44. N 5. P. 2051–2063.
- [7] *Трефилов В.И., Мильман Ю.В., Фирстов В.А.* Физические основы прочности тугоплавких металлов. К.: Наук. думка, 1975. 315 с.
- [8] *Cottrell B., Rice J.R.* // Int. J. Fract. 1980. V. 16. N 2. P. 155–169.
- [9] *Evans A.G.* // Phil. Mag. 1972. V. 26. P. 1327–1344.
- [10] *Брок Д.* Основы механики разрушения. М.: Высш. школа, 1980. 368 с.
- [11] *Argon A.A.* // Scr. Metall. 1982. V. 16. N 3. P. 259–264.